

تهیه مدل رقومی زمین مناطق جنگلی با استفاده از داده‌های لایدار هوایی مطالعه موردی: درود، لرستان

زهرا عزیزی^۱

اصغر حسینی^۱

سعید صادقیان^۲

تاریخ پذیرش مقاله: ۹۸/۱۱/۲۷

تاریخ دریافت مقاله: ۹۶/۰۶/۱۹

چکیده

مدل رقومی زمین برای پردازش اطلاعات مکانی یک مؤلفه اصلی محسوب می‌شود و در علوم زمین کاربردهای فراوانی دارد. برای تولید مدل رقومی زمین از داده‌های لایدار بایستی نقاطی که متعلق به عوارض غیرزمینی هستند از مجموعه داده‌ها حذف شوند و سپس با روشی مناسب اقدام به درون‌یابی نقاط زمینی شود تا مدل رقومی زمین بصورت یک شبکه رستر با ابعاد مناسب از این نقاط تولید گردد. در تحقیق حاضر برای تولید مدل رقومی زمین از داده‌های لایدار در بخشی از مناطق جنگلی شهرستان درود، ابتدا فیلتر مورفولوژیک شبیه‌بنا برای جداسازی نقاط مربوط به پوشش جنگلی (نقاط مربوط به عوارض غیرزمینی) استفاده شد و آستانه شبیه‌بنا مناسب برای فیلتر شبیه‌بنا تعیین گردید. این فیلتر بر پایه مفاهیم مورفولوژیک ریاضی طراحی شده است. الگوریتم فیلترینگ شبیه‌بنا دو پارامتر ورودی شاعع همسایگی و آستانه شبیب دارد. پس از اجرای الگوریتم شبیه‌بنا بر ابر نقاط لایدار برای اطمینان از دقت فیلتر کردن داده‌ها، بخشی از ابر نقاط منطقه (۵ درصد سطح منطقه) انتخاب و نقاط آن بصورت دستی فیلتر شد. نتایج فیلتر دستی با نتایج فیلتر کردن شبیه‌بنا (با در نظر گرفتن آستانه شبیه‌های مختلف) مقایسه شد. آستانه شبیه‌های پیشنهادی براساس شرایط منطقه انتخاب شدند و در نهایت بهترین آستانه شبیب برای فیلترینگ داده‌ها انتخاب گردید. سپس دو روش عکس فاصله وزنی و کریجینگ برای درون‌یابی و تولید مدل رقومی زمین بکار گرفته شدند. نتایج نشان داد شبیه ۴ درجه بهترین آستانه برای جداسازی نقاط عوارض غیرزمینی از زمینی است و روش عکس فاصله وزنی با توان سوم با ضریب همبستگی ۰/۹۹۸۶ و خطای ۰/۲۰۴ متر دقیق‌ترین روش برای درون‌یابی و تولید مدل رقومی زمین در منطقه مورد مطالعه است.

واژه‌های کلیدی: لایدار، فیلتر کردن، شبیه‌بنا، درون‌یابی، عکس فاصله وزنی.

۱- کارشناس ارشد، اداره کل منابع طبیعی و آبخیزداری استان چهارمحال و بختیاری، a.hdp68@yahoo.com

۲- استادیار گروه سنجش از دور و GIS، واحد علوم و تحقیقات، دانشگاه آزاد اسلامی (نویسنده مسئول) zazizi@srbiau.ac.ir

۳- دانشیار دانشگاه شهید بهشتی، sa_sadeghian@sbu.ac.ir

در مناطق جنگلی ارتفاع درختان پس از اندازه‌گیری اختلاف DTM و DSM به دست می‌آید. بنابراین دقت DTM بر دقت و صحت برآوردهای اطلاعات مربوط به ساختار جنگل تأثیرگذار است. برای بازیابی دقیق اطلاعات ساختار جنگل از داده‌های گستته لایدار، نیاز به طبقه‌بندی نقاط لایدار با روش‌های فیلترینگ می‌باشد (*Kraus & PfeiferKraus, 1998, P.195*). منظور از فیلترکردن، شناسایی نقاط عوارض غیرزمینی و زمینی و حذف یا جداسازی بخشی از نقاط از مجموعه داده‌های داده‌های لایدار صورت می‌پذیرد. بنابراین در تهیه DTM، داده‌های لایدار عمل فیلترکردن، نقاط متعلق به سطح زمین عاری حاصل عمل فیلترکردن، نقاط متعلق به سطح زمین عاری از پوشش است.

فیلترینگ یک گام ضروری برای تولید DTM است و الگوریتم‌های زیادی برای تولید آن با استفاده از داده‌های لایدار توسعه یافته‌اند. روش‌های معمول فیلترکردن داده‌های لایدار عبارتند از شبیه‌بنا (*Sithole & Vosselman, 2001, P.208*), حداقل بلوك (*Wack & Wimmer, 2002, P.939*)، سطح مبنا و قطعه‌بندی. روش شبیه‌بنا و حداقل بلوك در اجرا روش‌های ساده‌تری هستند.

با فرض اینکه الگوریتم فیلترکردن زمینی لایدار فرضیات متفاوتی در مورد تمایز بین ویژگی‌های زمینی و غیرزمینی ایجاد می‌کند (*Gomroki & et al., 2017, P.238*)، چند ویژگی که موجب بروز خطا در الگوریتم فیلترکردن زمینی می‌شوند درختچه‌ها، دیوارهای کوتاه، پل‌ها، ساختمان‌های با اندازه و شکل‌های مختلف، صخره‌ها، پوشش گیاهی مخلوط و پیچیده، مناطق تپه ماهور و عدم ارزیابی دقت و صحت قابل اطمینان هستند (*Meng & et al., 2010, P.835*).

تنظیم پارامترهای مورد استفاده در فیلتر از جمله مهم‌ترین مسائل برای فیلترکردن کارآمد است. در تحقیق (*Sithole & Vosselman, 2005, P.69*) یک حالت ایده‌آل از انتخاب فیلتر اتوماتیک را آزمون کردند. زیرا الگوریتم بهینه فیلتر ممکن است با توجه به چشم‌انداز و شرایط منطقه متفاوت باشد. برای تنظیم پارامترهای روش فیلترکردن تکرارشونده

۱- مقدمه

مدل‌های رقومی ارتفاع^۱ (DEM) و زمین^۲ (DTM) نقش مهمی در برنامه‌ریزی‌ها و مدیریت منابع زمینی اجرا می‌کنند (aminei امیرکلائی و همکاران، ۱۳۹۶: ۵۴).

مدل رقومی ارتفاع در بسیاری از علوم زمین و محیطی مانند کنترل فرسایش، برنامه‌ریزی سیل، راهسازی، شناسایی منابع اراضی و غیره مورد نیاز می‌باشد (شمیعی خورشیدی و همکاران، ۱۳۹۰: ۲). روش‌های سنتی از قبیل نقشه‌برداری زمینی و فتوگرامتری امکان تهیه مدل‌های رقومی مذکور را با دقت زیاد فراهم می‌نمایند اما اجرای این روش‌ها زمان بر و نیازمند حجم کاری بالایی است (*Wierzwicki & Nienaltowski, 2019, P.2*)

علاوه براین در نواحی جنگلی استفاده از این روش‌ها به دلیل تراکم درختان و وجود تاج‌پوشش جنگل سخت‌تر نیز می‌شود (*Liu, 2008, P. 33*) در این شرایط لایدار جایگزین مناسبی برای روش سنتی در تولید مدل‌های سه‌بعدی زمین است (*Habib & et al., 2005, P.700*)

درواقع امروزه استفاده از نسل جدید اسکنرهای لیزری و روند در حال توسعه تکنولوژی لایدار، تهیه مدل‌های سه‌بعدی از لایدار را به یک روش استاندارد برای تهیه مدل رقومی زمین و ارتفاع تبدیل کرده است (*Hodgson & Bresnahan, 2004, P.333*)

مدل‌های رقومی سطح عوارض^۳ DSM و زمین مجموعه‌ای از قطعات همگن و عموماً هم اندازه‌اند که هر یک دارای ارزش ارتفاعی خاصی هستند و برای استخراج عوارضی که از نظر هندسی ویژگی منحصر به فردی نسبت به سایر عوارض موجود در مدل دارند قابل استفاده می‌باشند (*Hinz & Baumgartner, 2000, P.406*)

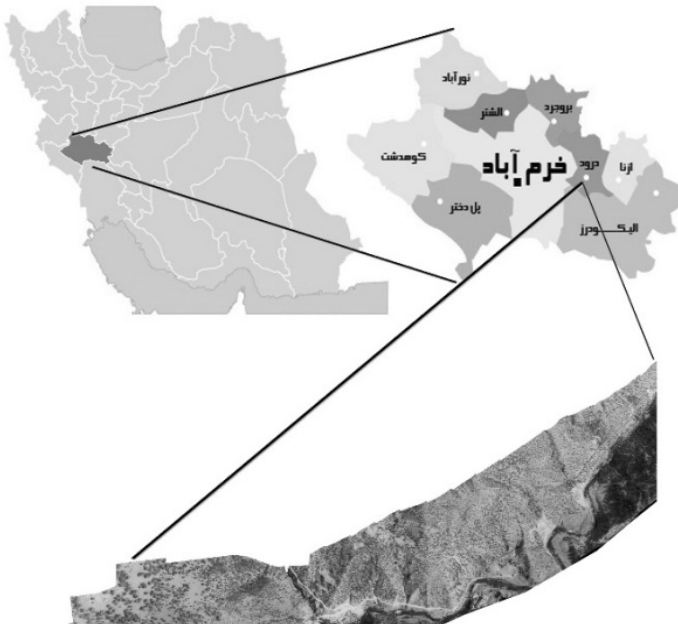
این مدل‌ها بصورت^۴ TIN، DEM، DTM و ... تعریف می‌شوند (*Zhou, 2017, P.2*)

1- Digital Elevation Model

2- Digital Terrain Model

3 - Digital Surface Model

4- Triangulated Irregular Network



نگاره ۱: موقعیت منطقه مورد مطالعه در ایران
و عکس هوایی منطقه

است لذا تفکیک نقاط مربوط به سطح زمین از نقاط واقع بر روی تاج پوشش درختان در این جنگل‌ها از پیچیدگی زیادی برخوردار است.

۲- مواد و روش‌ها
۲- ۱- منطقه مورد مطالعه

منطقه مورد مطالعه بخشی از جنگل‌های زاگرس میانی در حوزه شهرستان درود و در استان لرستان واقع شده است (نگاره ۱). داده‌های لایدار موجود برای منطقه از نوع پالسی با طول موج مادون قرمز میانی مربوط به یک منطقه جنگلی شامل داده‌های بازگشت اول^۳، بازگشت آخر^۴ و بازگشت‌های میانی^۵ فاصله لایدار است (نگاره ۲). زمان اخذ داده‌ها تابستان ۱۳۹۱، سیستم اسکنر لیزری از نوع Litermater 5600، طول موج لیزر ۱۵۵۰ نانومتر، ارتفاع متوسط پرواز ۱۰۰۰ متر و عرض نوار برداشت حدود ۶۰۰ متر بوده است.

نیز گزارش شده است (Kobler & et al., 2007, P.20).

در هر صورت پس از فیلتر کردن و جداسازی نقاط مربوط به عوارض غیرزمینی نیاز به درون‌یابی نقاط زمینی و تئیه مدل رستری ارتفاع عوارض زمینی است. معمولاً داده‌های لایدار پس از فیلتر شدن در بخش‌هایی که نقاط از دست رفته‌اند چهار گسستگی می‌شوند لذا باید با استفاده از روش‌های درون‌یابی نقاط از دست رفته جایگزین گردند (Umasuthan & Andrew, 1996, P.193).

درونویابی در داده‌های لایدار به معنی محاسبه ارتفاع نقاط از دست رفته است. روش‌های متعددی برای درون‌یابی این داده‌ها وجود دارد که مهمترین آن‌ها TIN، IDW^۱ و Kriging^۲ می‌باشند (Axelsson, 2000, P.114).

هدف از پژوهش حاضر تئیه مدل رقومی زمین یک منطقه جنگلی و دارای پوشش درختی با ساختار دانه و شاخه‌زاد با استفاده از داده‌های لایدار و بکارگیری الگوریتم شبیه‌سازی^۳ در جداسازی نقاط زمینی و ارزیابی برخی روش‌های درون‌یابی در تئیه مدل رقومی زمین منطقه است. ساختار عمودی جنگل‌های مذکور دارای ارتفاع کمی

3- First Return

4- Last Return

5- Middle Return

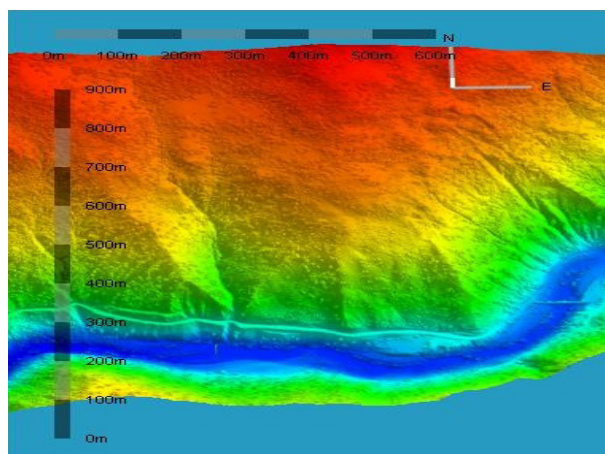
1- Inverse Distance Weighting

2- Slope based algorithm

در نظر گرفتن آستانه شیب‌های مختلف مقایسه شد. آستانه شیب‌های پیشنهادی براساس شرایط منطقه انتخاب شدند و در نهایت بهترین آستانه شیب برای فیلترینگ داده‌ها انتخاب گردید. برای ارزیابی روش بکارگرفته شده میزان خطاهای تشخیص نقاط مربوط به عوارض غیرزمینی به شرح جدول ۱ و رابطه ۲ محاسبه شد.

در این جدول a تعداد نقاط غیرزمینی و d تعداد نقاط زمینی هستند که بر اساس الگوریتم شیب مبنا به درستی تشخیص داده شده‌اند، c تعداد نقاط عوارض زمینی است که به اشتباه نقاط غیرزمینی تشخیص داده شده‌است، b تعداد نقاط عوارض غیرزمینی است که به اشتباه نقاط مربوط به زمین تشخیص داده شده است.

$$\frac{b}{(a + b)} \times 100 = \text{خطا} \quad (2)$$



نگاره ۲: ابر نقاط لیدار منطقه مورد مطالعه

جدول ۱: نحوه محاسبه خطای تشخیص عوارض غیرزمینی

خر裘جی الگوریتم				
		عوارض غیرزمینی	عوارض زمینی	
۱۰۰٪ ۵۰٪	عوارض غیرزمینی	a	b	a + b
	عوارض زمینی	c	d	c + d
	a + c	b + d		

۲-۲- روش انجام کار

در تحقیق حاضر برای جداسازی نقاط بازگشت آخر (DTM) لایدار (نقاط مربوط به زمین) از بازگشت‌های اول (DSM) و میانی (نقاط مربوط به درختان، درختچه‌ها و بوته‌ها) از فیلتر مورفولوژیک شیب مبنا و سلمان (Vosselman, 2000, P.938) استفاده شد. در این الگوریتم فرض بر آن است که گرادیان در زمین عاری از پوشش محدود است. این فیلتر بر پایه مفاهیم مورفولوژیک ریاضی طراحی شده است. الگوریتم فیلترینگ شیب مبنا دو پارامتر ورودی شعاع همسایگی و آستانه شیب دارد (متکان و حاجب، ۱۳۹۲).

از نظر تئوری، شعاع همسایگی باید اندکی از بزرگترین پدیده موجود در منطقه (درختی با بزرگترین تاج در منطقه مورد مطالعه) بزرگتر باشد. انتخاب آستانه شیب نیز از اهمیت زیادی برخوردار است زیرا مقادیر کم این پارامتر موجب قرارگرفتن نقاط زمینی در طبقه درختان و حذف آن‌ها می‌شود. مقادیر بیشتر آن موجب می‌شود تعدادی از نقاطی که بر روی تاج درختان است به عنوان نقاط متعلق به زمین در نظر گرفته شود که در هر دو حالت موجب ایجاد خطا در مدل رقومی ارتفاع بدست آمده خواهد شد. بر این اساس، طبق رابطه ۱ اگر (N) مجموعه کل داده‌های لایدار و

(B) مجموعه نقاط زمینی فرض شوند،

$$B = \begin{cases} 1 & \forall v_i \in N \\ 0 & \text{else} \end{cases} \quad (1)$$

$$\exists \Delta h(d(v_i, v_j)) > \Delta h_{\max}(d(v_i, v_j))$$

آنگاه $\Delta h(d(v_i, v_j))$ اختلاف ارتفاع بین نقطه v_i و نقطه v_j است که در همسایگی آن قرار دارد، $\Delta h(d(v_i, v_j))$ بیشترین اختلاف ارتفاع مورد انتظار بین دو نقطه از زمین عاری از پوشش با فاصله مسطحاتی d است. شعاع همسایگی (مقادیر d) به ازای هر بار تکرار الگوریتم یک عدد مشخص می‌باشد.

پس از اجرای الگوریتم شیب مبنا بر ابر نقاط لایدار برای اطمینان از دقت فیلتر کدن داده‌ها، بخشی از ابر نقاط منطقه (۵ درصد سطح منطقه) انتخاب و نقاط آن بصورت دستی فیلتر شد. نتایج فیلتر دستی با نتایج فیلتر کدن شیب مبنا (با

فصلنامه علمی - پژوهشی اطلاعات جغرافیایی (۲۸)۱
تهریه مدل رقومی زمین مناطق جنگلی با استفاده از ... / ۱۶۳

برآورده کننده خطی ناریب^۲ است. این تخمین‌گر به صورت رابطه (۵) تعریف می‌شود.

$$Z_{Vi}^* = \sum_{i=1}^n \lambda_i Z_{Vi} \quad (5)$$

در رابطه (۵) Z_{Vi}^* مقدار تخمینی، λ_i وزن یا مقدار اهمیت کمیت وابسته به نمونه (نقطه) i ام Z_{Vi} مقدار نمونه (نقطه) i ام است. این نوع کریجینگ را خطی می‌نامند زیرا ترکیب خطی از n داده است.

پس از آنکه درون‌یابی نقاط بازگشت آخر با روش IDW برای توانهای ۲ و ۳ و روش کریجینگ انجام شد. نتایج به دست آمده از نظر خطا (رابطه ۴) مورد بررسی قرار گرفتند. برای انجام این بررسی تعداد ۶۲ نقطه از منطقه که ارتفاع واقعی آنها موجود بود (قبلًا با DGPS تعیین موقعیت شده بود) با ارتفاع به دست آمده از همان نقاط از روش IDW و کریجینگ مقایسه شدند.

$$RMSE = \sqrt{\frac{\sum_{i=1}^n Z_{i(interpolated)} - Z_{i(truth)}}{N}} \quad (6)$$

جدول ۲: خطای محاسبه شده برای آستانه‌های شب

آستانه شب (درجه)	درصد خطای تشخیص عوارض غیرزمینی
۴۰	۰/۰۸
۴۴	۰/۰۰
۴۸	۰/۷
۵۲	۰/۷
۵۶	۰/۷
۶۰	۱/۱

۳- نتایج

در اجرای روش فیلتر کردن به روش شب مبنای ابتدا شاعع همسایگی و آستانه شب بهینه با توجه به شرایط منطقه و بررسی‌های صحراوی تعیین شد.

۲-۱- درون‌یابی داده‌ها

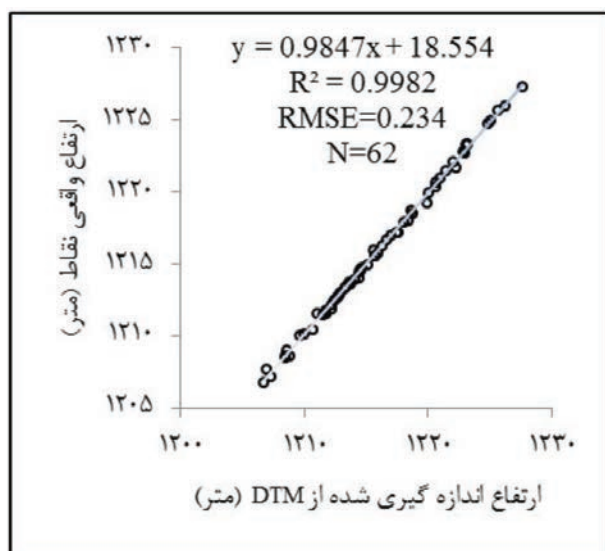
روش درون‌یابی عکس فاصله وزنی (IDW) یک روش ریاضی و بر پایه فاصله‌ی بین نقاط مشاهده شده و نقطه‌ای که باید درون‌یابی شود، می‌باشد. از روش‌های پیشرفته نزدیک‌ترین همسایه است که اجزا می‌دهد تعدادی از نقاط همچو اور در برآورده وزن‌های درون‌یابی سایر نقاط شرکت کنند و بدین ترتیب نزدیک‌ترین نقطه بیشترین وزن را به دست می‌آورد و نقاط دورتر بر عکس (Andersen & et al., 2005, P.444) روش IDW از نظر ریاضی به صورت رابطه ۳ بیان می‌شود.

$$\bar{Z}(s_0) = \sum_{i=1}^N \lambda_i Z(s_i) \quad (3)$$

که در آن $\bar{Z}(s_0)$ مقدار کمیت مورد نظر در نقطه s_0 است و N تعدادی از نقاط با مقدار معلوم که برای پیش‌بینی نقطه مجهول به کار می‌روند. λ_i وزن نسبت داده شده به هریک از نقاط معمولی که برای محاسبه مقدار نقطه مجهول بکار می‌روند و مقدار این وزن با استفاده از رابطه ۴ محاسبه می‌شود.

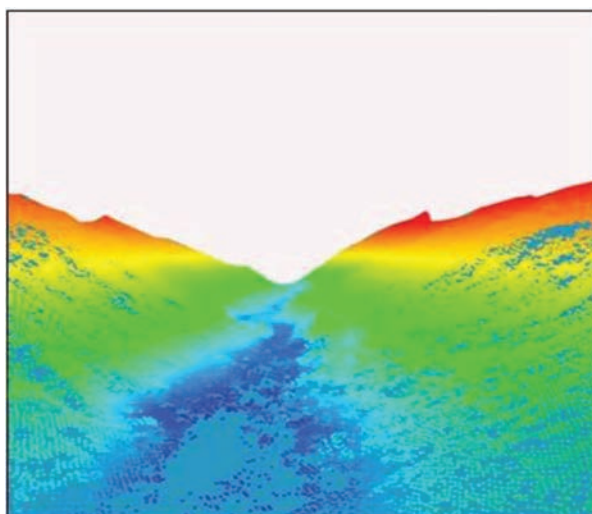
$$\lambda_i = \frac{d_{i0}^{-p}}{\sum_{i=1}^n d_{i0}^{-p}} \quad \sum_{i=1}^N \lambda_i = 1 \quad (4)$$

در رابطه (۴) d_{i0} فاصله بین نقطه s_0 و نقاط معلوم دیگر می‌باشد. P توان بهینه می‌باشد که برای بدست آوردن آن باید حداقل میزان^۱ RMSE تعیین گردد لذا بهترین توان در جایی است که حداقل RMSE وجود داشته باشد. هرچه فاصله داده معلوم از نقطه مجهول افزایش یابد، وزن‌ها براساس فاصله کاوش می‌یابند. هنگامی که توان صفر است ($p=0$) نقش فاصله از بین می‌رود و مقدار نامعلوم، از میانگین نقاط همسایه بدست می‌آید و اگر توان (p) افزایش یابد، نقش فاصله افزایش می‌یابد و به فاصله‌های نزدیک‌تر وزن بالاتری تخصیص داده می‌شود. دیگر روش درون‌یابی بکار گرفته شده در این تحقیق روش کریجینگ است که بر منطق میانگین متحرک وزن‌دار استوار می‌باشد، که بهترین

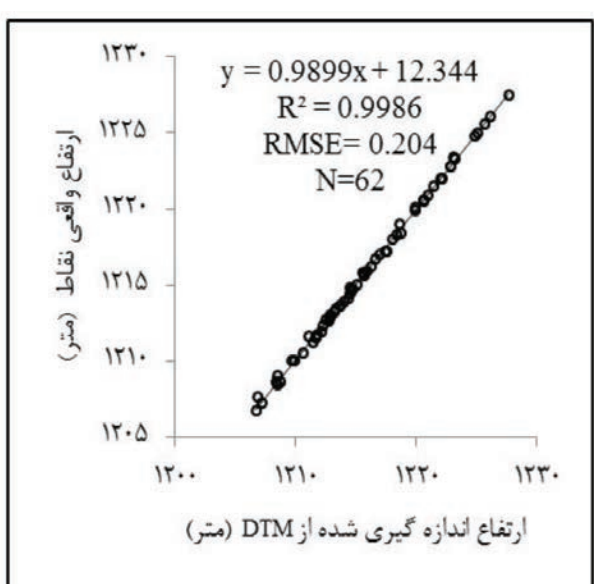


نگاره ۵: نتایج بررسی دقت درون‌یابی به روش IDW برای توان

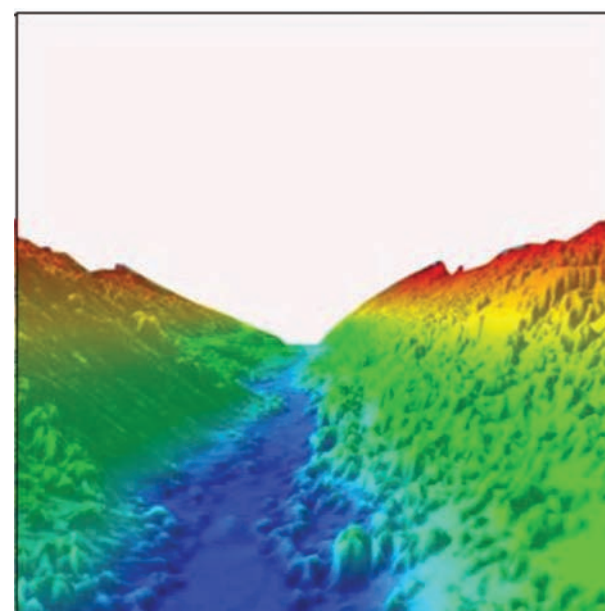
در این پژوهش مقدار شعاع همسایگی ۳ متر در نظر گرفته شد و فرآیند فیلترکردن با ۶ آستانه شیب $44^{\circ}, 40^{\circ}, 48^{\circ}, 52^{\circ}, 56^{\circ}$ و 60° انجام شد. پس از محاسبه خطا (جدول ۲)، بهترین آستانه شیب 44° شناخته شد. پس از این مرحله نقاط غیرزمینی (DSM) با آستانه شیب 44° برای الگوریتم شیب مبنا حذف شدند (نگاره ۳ و ۴).



نگاره ۳: DTM منطقه مورد مطالعه



نگاره ۶: نتایج بررسی دقت درون‌یابی به روش IDW برای توان



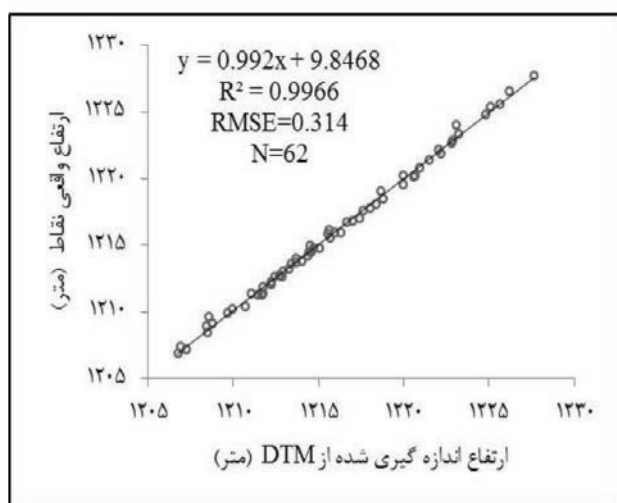
نگاره ۴: نمای سه بعدی DSM منطقه مورد مطالعه

فصلنامه علمی - پژوهشی اطلاعات جغرافیایی (جغرافیا)

تهریه مدل رقومی زمین مناطق جنگلی با استفاده از ... / ۱۶۵

آستانه‌های ۴۰ تا ۶۰ درجه به عنوان محدوده‌ای که آستانه درست در آن قرار دارد انتخاب شدند. همانطور که تحقیقات (Zhang & et al., 2003, 878) نشان می‌دهد در عملیات فیلترکردن ابر نقاط لایدار، اگر آستانه شیب کمتر از مقدار واقعی در نظر گرفته شود اجرای الگوریتم منجر به حذف بخشی از نقاط زمینی نیز می‌شود و اگر بیشتر از حد واقعی در نظر گرفته شود بخشی از نقاط مربوط به عوارض غیرزمینی نزدیک به سطح زمین به عنوان نقاط زمینی تشخیص داده می‌شوند. لذا در این تحقیق با داشتن اطلاعات از عوارض منطقه‌نشانها یک محدوده مشخص از آستانه شیب‌های مختلف مورد بررسی قرار گرفت و بدین شکل حجم عملیات تعیین آستانه شیب کاهش داده شد.

بررسی عوامل تأثیرگذار در ایجاد خطا در مطالعه حاضر سه عامل تأثیرگذار در دقت جداسازی ابر نقاط عوارض زمینی نشان داد: ۱) وجود ناهمواری‌ها و ناپیوستگی شیب‌زمین، ۲) تاج پوشش جنگل که نفوذ پالس لیزر و کسب اطلاعات درست از کف جنگل را در زیر تاج کاهش می‌دهد و ۳) وجود مناطقی که پوشش بوته‌ای دارند و ارتفاع آنها نزدیک به سطح زمین است. نتایج مطالعات انجام شده توسط (Meng & et al., 2009, P.117; Montane & Torres, 2006, P.961) نیز عوامل تأثیرگذار در خطای جداسازی ابر نقاط لایدار در مناطق جنگلی را تأیید می‌نماید. نتایج تحقیق کنونی نشان می‌دهد در منطقه جنگلی مورد مطالعه مدل رقومی ارتفاع استخراج شده از داده‌های لایدار دقت بالاتر و قدرت تغییرگذاری مکانی بیشتری از مدل تهیه شده به روش فتوگرامتری سنتی دارد. مطالعات مشابه (Gonçalves-Seco & Gonçalves-Seco, 2006, P.177; Azizi & et al., 2014, P.975;) این موضوع را تأیید می‌نمایند و علت آن را امکان نفوذ پالس‌های لیزر از تاج پوشش جنگل و کسب اطلاعات از مختصات سه‌بعدی نقاط کف جنگل ذکر کرده‌اند. روش IDW از دقیق‌ترین روش‌های درون‌یابی است که به ویژه برای داده‌هایی با ابر نقاط متراکم و همگن نتایج خوبی ارائه می‌دهد، اما در حالتی که تراکم ابر نقاط پایین یا ناهمگن باشد دقت



نگاره ۷: نتایج بررسی دقت درون‌یابی به روش کریجینگ

براساس نتایج، خطای (RMSE) در درون‌یابی به روش IDW با توان $3^{(0/204 \text{ متر})}$ کمتر از توان $2^{(0/234 \text{ متر})}$ و کریجینگ $(0/314 \text{ متر})$ بوده است، بنابراین برای تولید مدل رقومی زمین از داده‌های درون‌یابی شده با توان سوم و به روش IDW استفاده شد. در این تحقیق ابعاد شبکه رستری تهیه شده برای مدل رقومی زمین یک متر بود.

۴- بحث و نتیجه گیری

در پژوهش حاضر برای تفکیک و جداسازی ابر نقاط لایدار به نقاط زمینی و غیرزمینی روش فیلترکردن شیب‌منبا استفاده شد. در این روش هر نقطه در یک شعاع مشخص با نقاط همسایه بررسی می‌شود و تشخیص آن که نقطه‌ای مربوط به سطح زمین است یا مربوط به عوارض روی سطح (مانند درختان) بر اساس محاسبه اختلاف ارتفاع بین نقاط یا به عبارتی شیب خط فرضی حاصل از اتصال هر دو نقطه به هم صورت می‌گیرد (Vosselman, 2000, P. 940). شعاع همسایگی بستگی به شرایط منطقه دارد لذا در منطقه مورد مطالعه که یک منطقه جنگلی و کوهستانی است شعاع همسایگی با در نظر گرفتن حداقل تغییرات ممکن ارتفاع نقاط زمینی در یک سطح، ۳ متر در نظر گرفته شد. براساس بررسی‌های انجام شده و شناختی که از منطقه مورد مطالعه وجود داشت

- طبیعی، دوره ۲، شماره ۳، صفحه ۱۱-۱.
۳. متکان، حاجب؛ علی‌اکبر، محمد (۱۳۹۲). مقایسه توانایی طبقه‌بندی کننده‌های ماشین بردار پشتیبان، شبکه عصبی مصنوعی و حداقل احتمال در بهبود نتایج الگوریتم‌های فیلترینگ داده‌های لیدار، سنجش از دور و GIS ایران، سال ۵، شماره ۲: ۱۶-۱.
4. Andersen, Hans-Erik; McGaughey Robert J.; Reutebuch Stephen E. (2005). Estimating forest canopy fuel parameters using lidar data. *Remote Sensing of Environment*. Vol.94, No.4, pp. 441-449.
5. Axelsson, Peter. (2000). DEM generation form laser scanner data using adaptive TIN models. *International Archives of Photogrammetry, Remote Sensing and Spatial Information Science*. Vol. 33(4): 110-117.
6. Azizi, Zahra; Najafi, Akbar; Sadeghian, Saeed (2014). Forest Road Detection Using LiDAR Data. *Forestry Research Journal*. Vol.25, No. 4, pp. 975-980.
7. Bilskie, Matthew V; Hagen, Scott C. (2013). Topographic accuracy assessment of bare earth LiDAR-derived unstructured meshes. *Advances in Water Resources*. Vol. 52 pp. 165–177.
8. Childs, Colin (2004). Interpolation surfaces in ArcGIS spatial analyst. *ArcUser July-September*, pp. 32-35.
9. Gomroki1, Masoomeh; Jafari, Marzieh; Sadeghian, Saeed; Azizi, Zahra (2017). Application of Intelligent Interpolation Methods for DTM Generation of Forest Areas Based on LiDAR Data, PFG – Journal of Photogrammetry, Remote Sensing and Geoinformation Science, Vol.85:227–241.
10. Gonçalves-Seco, Luis; Miranda, David; Crecente, Rafael; Farto, Javier (2006). Digital terrain model generation using airborne LiDAR in a forested area Galicia, Spain. *Proceedings of 7th International symposium on spatial accuracy assessment in natural resources and environmental sciences*, Lisbon, Portugal,pp. 169-180.
11. Habib, Ayman; Ghanma, Mwafag; Morgan, Michel; Al-Ruzouq, Rami (2005). Photogrammetric and LiDAR data registration using linear features. *Photogrammetric Engineering and Remote Sensing*. Vol.71, No.6, pp. 699-707.

نتایج کاوش می‌یابد (Childs, 2004, P.33). در مطالعه حاضر ابر نقاط متراکم لایدار امکان درون‌یابی با دقت بالا را فراهم نمود. در روش IDW، معمولاً از توان بالاتر از یک استفاده می‌شود و به همین علت به آن مریع فاصله معکوس نیز گفته می‌شود. در تحقیق حاضر دقت ارتفاعی ۰/۲۰۴ متر برای مدل رقومی زمین بدست آمد. مقایسه نتایج تحقیق حاضر و برخی تحقیقات مشابه انجام شده در مناطق دارای تاج پوشش جنگلی (Bilskie & Hagen, 2013, P.174) نشان دهنده دقت بالای مدل رقومی تهیه شده است.

امروزه در اغلب سیستم‌های لایدار و از جمله سیستم لایدار بکار گرفته شده در این تحقیق نیز دقت مختصات سه‌بعدی داده‌های لایدار به حدود ۱۰ الی ۱۵ سانتی‌متر در هر بعد (X, Y, Z) رسیده است، لذا یکی از دلایل دقت مناسب DTM تولید شده دقت داده‌های لایدار است. همچنین در تحقیق حاضر حذف کامل نویزها، فیلترکردن دقیق ابر نقاط و بکارگیری روش درون‌یابی مناسب امکان تولید DTM با دقت ۰/۲۰۴ متر (RMSE) را فراهم نمود. در مجموع، برای مدیریت جنگل‌ها دسترسی به داده‌های زمین (مدل رقومی زمین) با وضوح بالا مانند اطلاعات مشتق از لایدار امکان برنامه‌ریزی‌های اولیه و دفتری و طرح‌ریزی بهتر برای بهره‌برداری از منابع جنگلی را فراهم می‌نماید (White & et al., P.1139).

منابع و مأخذ

۱. امینی امیرکلایی، عنایتی، ویسی؛ حامد، حمید، مریم (۱۳۹۶). استخراج مدل رقومی زمین از ابرنقاط با ارائه یک روش پیش‌رونده مورفو‌لوزی مبنا. *فصلنامه علمی - پژوهشی اطلاعات جغرافیایی (سپهر)*، دوره ۲۶، شماره ۱۰۲، صفحه ۵۳-۶۵.
۲. شفیعی خورشیدی، متین فر، علوی پناه، فرخی؛ فاطمه، حمیدرضا، سید‌کاظم، مهدی (۱۳۹۰). تولید مدل رقومی ارتفاع با استفاده از زوج تصویر سنجنده ASTER. نشریه سنجش از دور و سامانه اطلاعات جغرافیایی در منابع

فصلنامه علمی - پژوهشی اطلاعات جغرافیایی (جغرافیا)

تپهیه مدل رقومی زمین مناطق جنگلی با استفاده از ... / ۱۶۷

- of airborne laser scanner data based on segmented point clouds. International Archives of Photogrammetry, Remote Sensing and Spatial Information Sciences. Vol.36(19): 66-71.
22. Umasuthan, Martin; Wallace, Andrew (1996). Outlier removal and discontinuity preserving smoothing of range data. IEE Proceedings on Visual Imaging & Signal Processing. Vol.143(3):191-200.
23. Vosselman, George (2000). Slope based filtering of laser altimetry data. International Archives of Photogrammetry and Remote Sensing, Amsterdam. Vol, 11: 935- 942.
24. Wack, Robert; Wimmer, Anna (2002). Digital terrain models from airborne laser scanner data-A grid based approach. International Archives of Photogrammetry and Remote Sensing, Graz, Austria. Vol.34, Vol.3B: 293–296.
25. White, Russell A.; Dietterick, Brian C.; Mastin, Thomas; Strohman Rollin (2010). Forest roads mapped using LiDAR in steep forested terrain. Remote Sensing Journal. Vol.2, pp. 1120-1141.
26. Wierzbicki, Damian; Nienaltowski, Marcin (2019). Accuracy Analysis of a 3D Model of Excavation, created from Images Acquired with an Action Camera from Low Altitudes. ISPRS Internanal Journal of Geo-Information, Vol.8(2): 83, 1-26.
27. Zhang, Keqi; Chen, Shu-Ching; Whitman, Dean; Shyu, Mei-Ling; Yan, Jianhua; Chengcui Zhang (2003). A progressive morphological filter for removing non-ground measurements from airborne lidar data. IEEE Transaction on Geoscience and Remote Sensing. Vol. 41, No.4, pp. 872–882.
28. Zhou, Qiming (2017). Digital Elevation Model and Digital Surface Model, The International Encyclopedia of Geography, John Wiley & Sons, Ltd.P:1-12.
12. Hinz, Stefan; Baumgartner, Albert (2000). Road extraction in urban areas supported by context objects. International Archives of Photogrammetry and Remote Sensing. Vol.33, Vol.3. 405-412.
13. Hodgson, Michael.E; Bresnahan, Patrick (2004). Accuracy of airborne LiDAR-derived elevation: empirical assessment and error budget. Photogrammetric Engineering and Remote Sensing. Vol. 70, No.3, pp. 331-339.
14. Kobler, Andrej; Pfeifer, Norbert; Ogrinc, Peter; Todorovski, Ljupčo; Oštir, Krištof; Džeroski, Sašo (2007). Repetitive interpolation: A robust algorithm for DTM generation from aerial laser scanner data in forested terrain. Remote Sensing of Environment. Vol.108(1): 9–23.
15. Kraus, Karl; PfeiferKraus, Norbert (1998). Determination of terrain models in wooded areas with airborne laser scanner data. ISPRS Journal of Photogrammetry & Remote Sensing. Vol.53, No.4, pp. 193-203.
16. Liu, Xiaoye (2008). Airborne LiDAR for DEM generation: Some critical issues.” Progress in Physical Geography: an international review of geographical work in the natural and environmental sciences. Vol. 32, No.1, pp. 31-49.
17. Meng, Xuelian; Currit, Nate; Zhao, Kaiguang (2010). Ground filtering algorithms for airborne LiDAR data: A review of critical issues. Remote Sensing journal. Vol. 2: 833–860.
18. Meng, Yu Song; Hui, Lee Yee; Chong Ng Boon (2009). Study of propagation loss prediction in forest environment. Progress in Electromagnetic Research B. Vol.17, pp. 117-133.
19. Montané, Juana M.; Torres, Raymond (2006). Accuracy assessment of lidar saltmarsh topographic data using RTK GPS. Photogrammetric Engineering & Remote Sensing. Vol. 72, No.8, pp. 961-967.
20. Sithole, George; Vosselman, George (2001). “Filtering of laser altimetry data using a slope adaptive filter.” International Archives of Photogrammetry and Remote Sensing. Vol.34, No.(3/W4), 203–210.
21. Sithole, George; Vosselman, George (2005). Filtering

